

## 摄动双积分系统的时间-燃料次优反馈控制

荆武兴 崔平远 杨 涂 吴瑶华

(哈尔滨工业大学航天工程与力学系, 150006)

**摘要:**本文研究了摄动双积分系统的时间-燃料最优控制问题。用理想双积分系统时间-燃料最优切换线的改进形式, 构造了摄动双积分系统的反馈控制律, 证明了闭环系统的鲁棒收敛性。算例表明, 反馈控制律与最优控制律具有相近的控制结果。

**关键词:**双积分系统; 时间-燃料最优控制; 鲁棒控制; 开关控制

### 1 引 言

理想双积分系统的时间-燃料最优控制综合, 理论上已经解决<sup>[1,2]</sup>, 但在实践中存在不足: 由于实际系统存在干扰因素, 而且模型简化过程中, 忽略了系统固有的线性或非线性因素, 用样本数据进行反馈控制<sup>[4]</sup>, 理想的时间-燃料最优控制律容易造成系统沿开关线的颤振<sup>[5]</sup>, 在许多情况下, 这对系统是极其有害的。

为了克服上述不足, 本文将理想时间-燃料最优控制切换线进行改进, 构造了摄动双积分系统的无颤振反馈控制律, 证明了闭环系统的鲁棒收敛性。仿真例子表明, 反馈控制律与最优开环控制律具有相近的控制效果。

### 2 控制问题的描述

考虑如下微分方程描述的摄动双积分控制系统

$$\ddot{x} = g(x, \dot{x}, t) + au. \quad (1)$$

$u$  为开关控制函数, 其值域为  $\{-1, 0, 1\}$ ,  $a$  为常数(一般与执行机构的功率有关),  $g(x, \dot{x}, t)$  于  $\mathbb{R}^3$  上连续, 并且存在常数  $a$  使

$$\left| \frac{g(x, \dot{x}, t)}{a} \right| < a < \frac{1}{2}. \quad (2)$$

如果摄动加速度  $g(x, \dot{x}, t)/a$  的上确界小于  $1/2$ , 常数  $a$  是存在的。令

$$x_1 = \frac{x}{a}, \quad x_2 = \frac{\dot{x}}{a}, \quad f(x_1, x_2, t) = \frac{g(x, \dot{x}, t)}{a}.$$

(1)式可以表示为状态方程的形式

$$\dot{X} = F(X, t) + Bu. \quad (3)$$

其中  $X = [x_1, x_2]^T$ ,  $F(X, t) = [x_2, f(x_1, x_2, t)]^T$ ,  $B = [0, 1]^T$ .

控制问题为: 设计反馈控制律  $u=u(X)$ , 使系统(3)从任意非零初始状态  $X(t_0)$  转移至原点, 并使时间-燃料指标

$$J = \int_{t_0}^{t_f} (\rho + |u|) dt, \quad (\rho > 0) \quad (4)$$

极小,  $\rho$  为时间加权因子.

### 3 控制律设计

#### 3.1 最优控制

系统(3)的哈密顿函数为

$$H = \rho + |u| + \lambda_1 x_2 + \lambda_2 (f + u).$$

其中  $\lambda_1, \lambda_2$  为协状态变量.

根据极大值原理, 最优控制应使  $H$  极小. 经过综合, 得到最优控制律如下:

$$u = \begin{cases} 0, & |\lambda_2| < 1, \\ -\text{sgn}[\lambda_2], & |\lambda_2| > 1, \\ [0, 1] \text{ 中取值}, & \lambda_2 = -1, \\ [-1, 0] \text{ 中取值}, & \lambda_2 = 1. \end{cases} \quad (5)$$

$\lambda_1, \lambda_2$  由下面的协态方程确定

$$\lambda_1 = -\frac{\partial H}{\partial x_1}, \quad (6a)$$

$$\lambda_2 = -\frac{\partial H}{\partial x_2}, \quad (6b)$$

状态方程(3)与协状态方程(6)构成一个两点边值问题, 用(5)作控制律必须解此两点边值问题, 这是相当费时的, 因此达不到在线控制的目的.

#### 3.2 反馈控制

为了得到反馈控制律, 暂且不考虑摄动项  $f$  的影响, (3)可简化为理想的双积分系统

$$\begin{cases} x_1 = x_2, \\ x_2 = u. \end{cases} \quad (7)$$

在指标(4)极小的要求下, (7)的反馈控制律为<sup>[3]</sup>

$$u = -\text{sgn}[\text{sgn}S_1 + \text{sgn}S_2]. \quad (8)$$

其中

$$S_1 = x_1 + \frac{4 + \rho}{2\rho} x_2 |x_2|, \quad (\text{关函数}),$$

$$S_2 = x_1 + \frac{1}{2} x_2 |x_2|. \quad (\text{开函数}),$$

$S_1 = 0$  为关闭线,  $S_2 = 0$  为开启线.

用样本数据进行反馈控制, 控制律(8)易使振动系统(3)产生颤振现象(图 1a), 或造成较大的性能指标损失(图 1b). 之所以出现上述情况, 是因为反馈控制律(8)中没有考虑摄动信息.

在控制律(8)的开关函数中加入摄动补偿, 并设置开关保持功能, 可以克服上述缺陷. 改进的控制律为

$$u(t) = \begin{cases} -\text{sgn}[\text{sgn}\tilde{S}_1 + \text{sgn}\tilde{S}_2], & (\tilde{S} > 0), \\ 0, & (\tilde{S}_1 = 0), \\ -\text{sgn}[x_2], & (\tilde{S}_2 = 0), \\ u(t_{\text{up}}), & (\tilde{S} < 0). \end{cases} \quad (9)$$

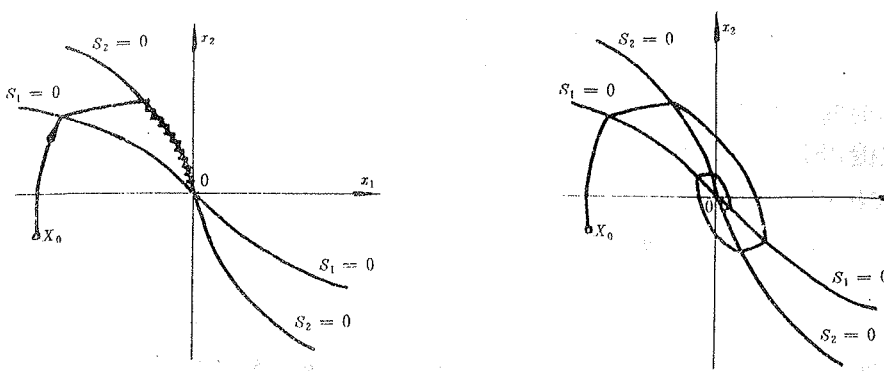


图 1 理想时间-燃料最优反馈控制律作用下的摄动系统相轨迹示意图

其中

$$\tilde{S} = \tilde{S}_1 \tilde{S}_2,$$

$$\tilde{S}_1 = x_1 + \frac{4 + (\rho + \varepsilon)}{2(\rho + \varepsilon)} x_2 |x_2|, \quad (\text{关函数}) \quad (10)$$

$$\tilde{S}_2 = x_1 + \frac{1}{2(1 - \alpha)} x_2 |x_2|, \quad (\text{开函数}) \quad (11)$$

$$u(t_0) = -\operatorname{sgn}[\operatorname{sgn}\tilde{S}_1(t_0) + \operatorname{sgn}\tilde{S}_2(t_0)],$$

$$t_{\sup} = \sup_{t' < t} \{t_0, t' \mid \tilde{S}(t') = 0\},$$

$$\frac{4\alpha}{1 - \alpha} - \rho < \varepsilon < \frac{4(1 - \alpha)}{\alpha} - \rho. \quad (12)$$

$\varepsilon$  为性能指标的损失补偿参数,  $\alpha$  为消振参数, 其取值范围由不等式(2)确定,  $t_{\sup}$  为过去最近一次切换时刻。

控制律(9)需要状态的信息和过去最近切换时刻的切换结果。在此控制律作用下, 系统(3)的颤振现象将明显减弱(图 2)。如果控制精度要求较高, 在原点附近, 控制切换仍较频繁, 这时可以用我国学者钱学森等提出的“双模控制”方法进一步消除<sup>[6]</sup>。

#### 4 闭环系统状态收敛性分析

不妨设系统(3)的初始状态  $X(t_0)$  在图 2 所示的位置上。根据控制律(9),  $u=1$ , 系统(3)为

$$\dot{x}_1 = x_2, \quad (13a)$$

$$\dot{x}_2 = 1 + f(x_1, x_2, t). \quad (13b)$$

方程(13)在  $[t_0, \infty)$  上存在唯一连续解  $X(t)$ 。由条件(2),

$$\lim_{t \rightarrow \infty} x_2(t) = \infty, \quad \lim_{t \rightarrow \infty} x_1(t) = \infty.$$

状态轨线最终进入第一象限, 因此必与  $\tilde{S}=0$  相交。记  $t_1$  为状态轨线首次到达  $\tilde{S}=0$  的时刻, 此时的状态为  $X(t_1)$ 。如果  $X(t_1)=0$ , 则控制过程结束; 如果  $X(t_1) \neq 0$ ,  $X(t_1)$  或在第二象限的  $\tilde{S}_1=0$  上, 或在第四象限的  $\tilde{S}_2=0$  上。不妨设为前者。根据控制律(9), 控制切换为  $u=0$ , 系统(3)为

$$\dot{x}_1 = x_2, \quad (14a)$$

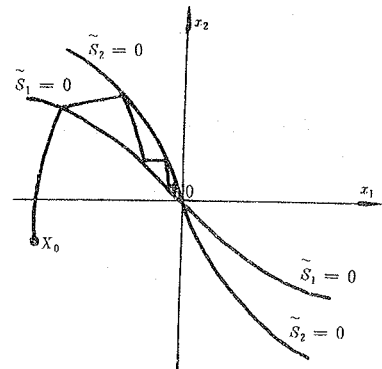


图 2 改进时间-燃料最优反馈控制律作用下的摄动系统相轨迹示意图

$$\dot{x}_2 = f(x_1, x_2, t). \quad (14b)$$

以  $X(t_1)$  为初值, (14) 在  $[t_1, \infty)$  上存在唯一连续解, 不妨仍记为  $X(t)$ . 记

$$T = \inf_{t \in [t_1, \infty)} \{t \mid x_2(t) = 0\}.$$

如果  $x_2(t) > 0$  ( $t \in [t_1, \infty)$ ), 补充  $T = \infty$ .

在  $[t_1, T)$  上,  $x_2(t) > 0$ . 由 (10), (11), (12), (14)

$$\dot{x}_1(t) > 0, \quad \dot{\tilde{s}}_1(t) > 0, \quad \dot{\tilde{s}}_2(t) > 0.$$

$x_1(t), \tilde{s}_1(t), \tilde{s}_2(t)$  为严格增加的连续函数, 在  $T$  点均有左极限,

$$\begin{cases} \lim_{t \rightarrow T^-} x_1(t) = x_{1T}, \\ \lim_{t \rightarrow T^-} \tilde{s}_1(t) = \tilde{s}_{1T} > 0, \\ \lim_{t \rightarrow T^-} \tilde{s}_2(t) = \tilde{s}_{2T}. \end{cases} \quad (15)$$

如果  $T < \infty$ , 则  $x_2(T) = 0$ . 由 (10), (11)

$$\tilde{s}_{2T} = \tilde{s}_{1T} > 0.$$

如果  $T = \infty$ , 必有  $x_{1T} > 0$ . 不然,  $x_{1T} \leq 0$ . 由 (10), (15), 存在  $x_{2min} > 0$ , 使  $x_2(t) \geq x_{2min}$ . 由 (14a),  $\lim_{t \rightarrow \infty} x_1(t) = \infty$ . 与反设矛盾. 从而有  $\tilde{s}_{2T} \geq x_{1T} > 0$ .

根据连续函数介值定理, 存在唯一  $t_2 \in (t_1, T)$  使  $\tilde{s}_2(t_2) = 0$ . 在  $(t_1, t_2)$  上, 轨线在角形域  $\{X \mid \tilde{s} < 0, x_2 > 0\}$  中运动. 在  $t_2$  时刻的状态记为  $X(t_2)$ . 又由控制律 (9), 在  $t_2$  时刻, 控制切换为  $u = -1$ . 系统 (3) 为

$$\dot{x}_1 = x_2, \quad (16a)$$

$$x_2 = -1 + f(x_1, x_2, t). \quad (16b)$$

以  $X(t_2)$  为初值, 在  $[t_2, \infty)$  上 (16) 存在唯一连续解, 不妨再记为  $X(t)$ . 仍记

$$T = \inf_{t \in [t_2, \infty)} \{t \mid x_2(t) = 0\}.$$

由 (16b) 及条件 (2),  $T < \infty$ ,  $\lim_{t \rightarrow T^-} x_2(t) = 0$ .

在  $[t_2, T)$  上,  $x_2(t) > 0$ , 而且  $\dot{x}_1(t) > 0, \dot{\tilde{s}}_1(t) < 0, \dot{\tilde{s}}_2(t) < 0$ .  $x_1(t)$  为严格增加函数,  $\tilde{s}_1(t), \tilde{s}_2(t)$  为严格减少函数. 在  $T$  点均有极限. 仍记

$$\lim_{t \rightarrow T^-} x_1(t) = x_{1T}, \quad \lim_{t \rightarrow T^-} \tilde{s}_1(t) = \tilde{s}_{1T}, \quad \lim_{t \rightarrow T^-} \tilde{s}_2(t) = \tilde{s}_{2T} < 0.$$

由 (10), (11)

$$\tilde{s}_{1T} = \tilde{s}_{2T} < 0.$$

因为  $\tilde{s}_1(t_2) > 0$ , 故存在唯一  $t_3 \in (t_2, T)$ , 使  $\tilde{s}_1(t_3) = 0$ . 在  $(t_2, t_3)$  上, 轨线在角形域  $\{X \mid \tilde{s} < 0, x_2 > 0\}$  中运动.  $t_3$  时刻的状态为  $X(t_3)$ .

在  $t_3$  时刻, 控制又切换为  $u = 0$ . 继续上述过程, 得到单调增加的切换时间序列  $\{t_n\}_{n \in \mathbb{N}}$ . 此序列必有极限<sup>[7]</sup>, 或为有限值, 或为  $\infty$ . 记其极限为  $t_\infty$ . 在  $[t_1, t_\infty)$  上, 轨线恒在角形区域  $\{X \mid \tilde{s} \leq 0, x_2 > 0\}$  中运动. 当  $n$  为奇数时,  $X(t_n)$  在  $\tilde{s}_1 = 0$  上; 当  $n$  为偶数时,  $X(t_n)$  在  $\tilde{s}_2 = 0$  上.

由于  $\dot{x}_1 = x_2 > 0, x_1(t)$  为单调增加的负连续函数, 在  $t_\infty$  点必存在左极限, 记

$$\lim_{t \rightarrow t_\infty^-} x_1(t) = x_{1\infty}, \quad (17)$$

必有  $x_{1e}=0$ .

不然, 则  $x_{1e}<0$ . 由于  $\tilde{S}_1(t)\geq 0$ , 由(10), 存在  $x_{2\min}>0$ , 使  $x_2(t)>x_{2\min}>0$ . 任意自然数  $k$

$$x_1(t_{2k-1})=-\frac{4+\rho+\varepsilon}{2(\rho+\varepsilon)}x_2^2(t_{2k-1}), \quad x_1(t_{2k})=-\frac{1}{2(1-\alpha)}x_2^2(t_{2k}).$$

于是

$$\lim_{k \rightarrow \infty} x_2(t_{2k-1}) = \sqrt{-\frac{2(\rho+\varepsilon)}{4+\rho+\varepsilon}}x_{1e} = A > 0,$$

$$\lim_{k \rightarrow \infty} x_2(t_{2k}) = \sqrt{-\frac{2(1-\alpha)x_{1e}}{2(1-\alpha)}} = B > 0.$$

由条件(12),  $A < B$ .

在  $[t_{2k-1}, t_{2k}]$  上,  $u=0$ , 系统(3)为

$$\begin{cases} \dot{x}_1 = x_2, \\ \dot{x}_2 = f(x_1, x_2, t). \end{cases} \quad (18)$$

于是

$$x_1(t_{2k}) - x_1(t_{2k-1}) > x_{2\min}(t_{2k} - t_{2k-1}),$$

$$x_2(t_{2k}) - x_2(t_{2k-1}) < \alpha(t_{2k} - t_{2k-1}).$$

从而  $\lim_{k \rightarrow \infty} [x_1(t_{2k}) - x_1(t_{2k-1})] \geq \lim_{k \rightarrow \infty} [x_2(t_{2k}) - x_2(t_{2k-1})] \cdot \frac{x_{2\min}}{\alpha} = \frac{(B-A)x_{2\min}}{\alpha} > 0$ .

与(17)式矛盾. 反设不成立. 故

$$\lim_{t \rightarrow t_e^-} x_1(t) = x_{1e} = 0.$$

由(11)式,

$$0 < x_2(t) \leq \sqrt{-2(1-\alpha)x_1(t)},$$

所以

$$\lim_{t \rightarrow t_e^-} x_2(t) = 0.$$

因此, 系统状态是收敛于原点的. 由于初始点可以是相平面上的任意点, 这种收敛还是全局的.

如果系统函数  $f$  含有不确定性, 只要条件(2)不被破坏, 控制律(9)仍使系统从任意点收敛于原点. 因此, 控制律(9)具有鲁棒性(对于状态的收敛性).

## 5 仿真算例

考虑飞船于月球上的软着陆时间-燃料最优控制问题. 飞船动力学模型为

$$\dot{x} = v, \quad (19a)$$

$$\dot{v} = \frac{p}{M}u - \frac{\mu}{(x+R)^2}, \quad (19b)$$

其中  $x, v$  分别为高度和垂直速度,  $\mu$  为月球引力常数,  $R$  为月球半径,  $M$  为飞船的总质量,  $p$  为发动机推力. 质量变化方程为

$$\dot{M} = -K|u|.$$

飞船自时刻  $t=0$  进入软着陆过程. 初始参数及有关常数见表 1.

表 1 计算参数

符号	$x(0)$	$v(0)$	$p$	$M(0)$	$K$	$R$	$\mu$
数值	6000	-30	4000	1000	0.1	$1.738 \times 10^8$	$4.887 \times 10^{12}$
单位	m	m/s	N	kg	kg/s	m	$m^3/s^2$

性能指标取为

$$J = \int_{t_0}^{t_f} (1 + |u|) dt,$$

采用最优控制的方法,通过“坐标轮换法”<sup>[8]</sup>求解两点边值问题,得到的结果见图3中“……”表示的相轨迹。最优控制的时间历程见图4,性能指标  $J = 152.1$ ,控制发生两次切换。飞船首先由推力器加速下降,然后关闭推力器,自由下落,最后再由推力器制动,使飞船达到软着陆的目的。

采用反馈控制律(8),反馈信息取为  $x_1 = \frac{M_0}{p}x, x_2 = \frac{M_0}{p}v$ ,结果见图3中“---”表示的相轨迹,控制的时间历程见图5,性能指标  $J = 240.3$ 。从图3可以看出,控制律(8)并没有使飞船达到软着陆的目的( $x=0, |v|>0$ )。这是因为控制律(8)没有计及月球引力加速度和飞船质量变化的影响,当飞船到达制动线时,制动发动机工作,如果没有月球引力加速度和飞船质量变化的影响,飞船将沿制动线(第四象限中的  $S_2 = 0$ )到达原点,但是月球引力的影响,使得制动加速度变小了,当飞船到达制动线时,即使全力制动也不能使飞船到达月球表面时速度降为零。如果仿真过程继续下去,轨线将到达第二象限中的闭线( $S_1 = 0$ )上。按照控制律(8),系统关于  $S_1 = 0$  满足变结构控制的可达性条件<sup>[9]</sup>

$$S_1 \dot{S}_1 < 0.$$

因此系统将沿第二象限中的闭线  $S_1 = 0$ “滑动”到原点,相应地,控制将发生“开关颤振”(图5中的后一部分)。

采用反馈控制律(9),反馈信息仍取为  $x_1 = \frac{M_0}{p}x, x_2 = \frac{M_0}{p}v$ ,控制律中的参数取为  $\alpha = 0.45, \epsilon = 2.5$ ,得到的结果见图3中的实线表示的相轨迹。控制的时间历程见图6。性能指标  $J = 154.1$ ,与最优控制的性能指标接近。飞船达到了软着陆的目的,而且克服了系统的高频颤振。当飞船接近月球表面时,相轨线到达第四象限角形区域的顶点附近(图2),轨线由开线到闭线或由闭线到开线需要的时间变短,因此在控制历程的最后一段仍有几次开关指令出现(图6)。如果发动机推力大小是可以连续变化的,当飞船接近月球表面时,改用PID控制模式,可以克服常值推力发动机在控制末端出现的频繁开关现象。这里仅给出推力大小不可调节的控制结果,有关PID控制和开关控制相结合的“双模控制”方法见于文[6,10]。

## 6 结 论

本文给出了摄动双积分系统的时间-燃料次优反馈控制律,并对闭环系统趋于原点的收敛性进行了严格论证。算例表明,此反馈控制律不仅克服了系统的颤振,而且对有界干

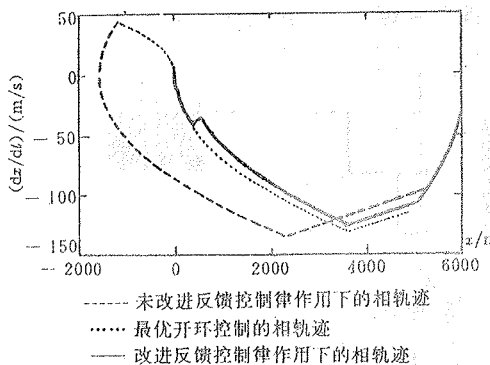


图3 飞船高度与下降速度的相轨迹

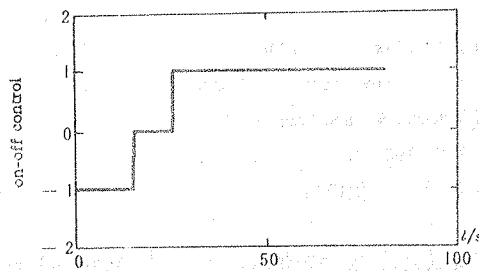


图4 最优开环控制的时间历程  
图5 变结构控制的开关颤振

扰具有鲁棒性,对参数变化有一定的自适应能力,是一种较实用的反馈控制律。

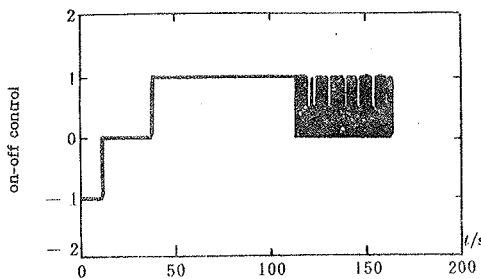


图 5 未改进的反馈控制时间历程

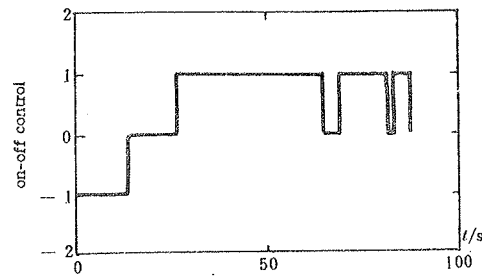


图 6 改进的反馈控制时间历程

### 参 考 文 献

- [1] Flugge-Lotz, I. and Marbach, H. . The Optimal Control of Some Attitude Control Systems for Different Performance Criteria. Trans. ASME, J. Basic. Eng. 1963, (85);165—176
- [2] Athans, M. and Falb, P. L. . Optimal Control; An Introduction to the Theory and Its Applications. New York, McGraw-Hill, 1966
- [3] 解学书. 最优控制理论与应用. 北京: 清华大学出版社, 1986, 210—214
- [4] Leitmann, G. , 陈介山译. 最佳过程引论. 北京: 国防工业出版社, 1982, 130
- [5] 荆武兴, 杨涤, 吴瑤华. 相对运动有限推力轨道控制. 宇航学报, 1993, (2);35—41
- [6] 钱学森, 宋健. 工程控制论, 上册. 北京: 科学出版社, 1980, 240—241
- [7] 夏道行, 吴卓人, 严绍宗, 舒五昌. 变分函数论与泛函分析, 上册. 北京: 高等教育出版社, 1985, 72—73
- [8] 蔡宣三. 最优化与最优控制. 北京: 清华大学出版社, 1983
- [9] 孙德滨, 程勉, 高为炳. 非线性变结构控制系统的综合. 自动化学报, 1989, (3);248—253
- [10] 郑载满, 黄家喜. 采用滑模变结构控制的轨迹跟踪伺服系统. 黑龙江自动化技术与应用, 1989, (3);18—22

### Time-Fuel Suboptimal Control of Perturbed Double-Integrator System

JIANG Wuxing, CUI Pingyuan, YANG Di and WU Yaohua

(Department of Astronautic Engineering and Mechanics, Harbin Institute of Technology, Harbin, 110006, PRC)

**Abstract:** Time-fuel suboptimal control of perturbed double-integrator system  $X = f(x, z, t) + au$  is studied. A feedback control law without chattering is presented. Robust convergence of closed-loop system is proved. An example is given to illustrate feasibility of the control law.

**Key words:** double-integrator system; time-fuel optimal control; robust control; on-off control

### 本文作者简介

**荆武兴** 1965年生。1986年毕业于河南师范大学, 1989年于哈尔滨工业大学获工学硕士学位, 现为哈尔滨工业大学讲师, 在职博士生。主要感兴趣的研究方向为大系统分散控制, 不确定系统的鲁棒控制, 智能控制, 空间飞行器动力学与控制。

**崔平远** 1961年生。1986年和1989年在哈尔滨工业大学分别获得硕士学位和博士学位, 1991年任副教授, 1993年任教授。主要研究领域为非线性系统的微分几何理论, 飞行器参数估计与控制, 自适应控制等。

**杨 涠** 1937年生。教授。博士生导师。主要研究方向为非线性系统控制, 智能控制, 武器系统制导与控制等。

**吴瑤华** 1926年生。教授。博士生导师。主要研究方向为飞行器模型辨识, 大型空间飞行器动力学与控制等。